

Рис. 2. Графики радиальной функции распределения кремния: а) жидкого при температуре 2000 К и концентрации  $2 \cdot 10^{28} \text{ м}^{-3}$ ; б) газообразного при температуре 3000 К и концентрации  $1 \cdot 10^{28} \text{ м}^{-3}$

Таким образом, подобран потенциал, позволяющий описать взаимодействие атомов кремния. Данный потенциал довольно просто в вычислениях и применим к моделированию фазовых переходов кремния.

#### Литература

1. Каплан И.Г. Введение в теорию межмолекулярных взаимодействий. – М.: Наука, 1982. – 127 с.
2. Химическая энциклопедия / под ред. И.Л. Кнуниан. – М.: Советская энциклопедия, 1990.
3. Борисов С.Ф. Межфазная граница газ – твердое тело: структура, модели, методы исследования: учеб. пособие. – Екатеринбург: Изд-во Урал. госуниверситета, 2001. – 54 с.
4. Гулд Х., Тобочник Я. Компьютерное моделирование в физике. – М.: Мир, 1990. – 211 с.
5. Фейнман Р. Статистическая механика: курс лекций. – М.: Мир, 1975. – 312 с.

Герман Евгений Иванович, аспирант, кафедра общей физики, Бурятский государственный университет. 670000, Улан-Удэ, ул. Смолина, 24а

Цыдыпов Шулун Балдоржевич, доктор технических наук, зав. кафедрой общей физики, Бурятский государственный университет. 670000, Улан-Удэ, ул. Смолина, 24а

Парfenov Владимир Николаевич, аспирант, кафедра общей физики, Бурятский государственный университет. 670000, Улан-Удэ, ул. Смолина, 24а

Гладких Алексей Анатольевич, аспирант, кафедра общей физики, Бурятский государственный университет. 670000, Улан-Удэ, ул. Смолина, 24а

German Evgeniy Ivanovich, postgraduate student, department of general physics, Buryat State University.

Tsydypov Shulun Baldorzhievich, doctor of engineering, head of department of general physics, Buryat State University.

Parfenov Vladimir Nikolaevich, postgraduate student, department of general physics, Buryat State University.

Gladkih Alexey Anatolievich, postgraduate student, department of general physics, Buryat State University.

УДК 539.213

## ФРАГИЛЬНОСТЬ И ПАРАМЕТР ГРЮНАЙЗЕНА НЕОРГАНИЧЕСКИХ СТЕКОЛ

Е.А. Булыгина, В.П. Етобаева, А.А. Машанов, Д.С. Сандитов

Работы выполнена при финансовой поддержке гранта БГУ «Ведущие научные школы».

У ряда неорганических стекол между фрагильностью – характеристикой вязкости близи температуры стеклования – и параметром Грюнаайзена, являющимся мерой ангармонизма колебаний решетки, установлена определенная взаимосвязь. Для расчета параметра Грюнаайзена использована формула Беломестных–Теслевой.

Ключевые слова: вязкость, фрагильность, ангармонизм, стекла.

## FRAGILITY AND THE GRUNEISEN PARAMETER OF NONORGANIC GLASSES

E.A. Bulygina, V.P., Etobaeva, A.A. Mashanov, D.S. Sanditov

*A number of inorganic glasses has a link between fragility – characteristic of viscosity near the glass transition temperature – and the Gruneisen parameter, which is a measure of anharmonicity of lattice vibrations, established some. To calculate the Gruneisen parameter the Belomestnykh-Tesleva formula is used.*

*Keywords:* viscosity, fragility, anharmonicity, glass.

Анжел [1] ввел понятие фрагильности, которая оказалась удобным способом классификации стекол. Она определяется тангенсом угла наклона касательной к кривой вязкости в координатах  $\lg \eta = (T_g/T)$  при температуре стеклования  $T_g$ :

$$m = \frac{\partial \lg \eta}{\partial (T_g/T)}_{T=T_g}. \quad (1)$$

В последние годы появились работы, посвященные установлению связи фрагильности с механическими и тепловыми свойствами стекол [2-4], в частности, с ангармонизмом колебаний решетки, мерой которого служит параметр Грюнайзена  $\gamma$  [4]. Величина  $\gamma$  вычислялась с помощью формулы, выражющей  $\gamma$  через коэффициент Пуассона  $\mu$  [5]:

$$\gamma \approx 0.7 \frac{(1 + \mu)}{(1 - 2\mu)}. \quad (2)$$

Это соотношение получено с использованием ряда приближений.

Беломестных и Теслева [6] более строгим методом вывели формулу, связывающую эти две величины:

$$\gamma = \frac{3}{2} \frac{(1 + \mu)}{(2 - 3\mu)}. \quad (3)$$

В выражениях (2) и (3) заметно отличаются знаменатели. Представляет интерес использование (3) вместо (2) в зависимостях, рассмотренных ранее [4].

В настоящей работе с привлечением формулы Беломестных–Теслевой (3) исследована зависимость фрагильности от параметра Грюнайзена для ряда стекол.

*Теоретические предпосылки.* Ранее было установлено [4], что фрагильность является однозначной функцией доли флюктуационного объема  $f_g$ , замороженной при температуре стеклования  $T_g$ :

$$f_g = \left( \frac{\Delta V_e}{V} \right)_{T=T_g}, \quad m = \frac{\ln(1/f_g)}{f_g}. \quad (4)$$

Флюктуационный объем аморфных сред  $\Delta V_e$  обусловлен предельными смещениями кинетических единиц из равновесных положений [7]

$$\Delta V_e = N_e (\pi d^2 \Delta r_m) \frac{1}{3\gamma} \quad (5)$$

и, как видно, обратно пропорционален параметру Грюнайзена:  $\Delta V_e \sim 1/\gamma$ . Здесь  $N_e$  – число возбужденных кинетических единиц,  $\pi d^2$  – эффективная площадь сечения частицы,  $\Delta r_m$  – критическое смещение кинетической единицы, соответствующее максимуму силы межмолекулярного притяжения.

Из соотношений (4)–(5) следует, что при  $\ln(1/f_g) \approx \text{const}$  и  $\Delta r_m \approx \text{const}$  в первом приближении фрагильность должна быть пропорциональна параметру Грюнайзена:  $m \sim \gamma$ .

*Сравнение с экспериментальными данными.* С целью проверки существования взаимосвязи между величинами  $m$  и  $\gamma$  мы построим графики зависимости в координатах  $m - \gamma$ , где для  $\gamma$  использована формула Беломестных–Теслевой (3). Фрагильность определялась по соотношению (1) на основе данных о вязкости  $\eta(T)$ . Результаты приведены на рисунках 1-5. Использованы данные справочника [8].

У силикатных стекол  $\text{PbO-SiO}_2$  и  $\text{Na}_2\text{O-GeO}_2-\text{SiO}_2$  наблюдается линейная зависимость  $m = m(\gamma)$ , что согласуется с предположением  $m \sim \gamma$  (рис. 1 и 2). У свинцовосиликатных стекол точки «ложатся» на прямую с заметным разбросом. Тем не менее можно принять, что в первом приближении величина  $m$  линейно растет с повышением ангармонизма  $\gamma$ .

У натриевоборатных стекол линейное возрастание фрагильности с ростом параметра Грюнайзена обнаруживается при содержании  $\text{Na}_2\text{O}$  выше 20 мол.% (рис. 3). В интервале от 2,8 до 17,5 мол.%

$\text{Na}_2\text{O}$  с ростом содержания окиси натрия параметр Грюнайзена (ангармонизм) падает с  $\gamma \approx 1/7$  до  $\gamma \approx 1,45$ , а фрагильность растет с  $m \approx 35$  до  $m \approx 60$ .

У боратных стекол  $\text{Bi}_2\text{O}_3\text{-B}_2\text{O}_3$  обнаруживается примерно такая же тенденция, что и у натриевоборатных (рис. 3 и 4).

Натриевогерманантные стекла  $\text{Na}_2\text{O}\text{-GeO}_2$  при сравнительно малых содержаниях  $\text{Na}_2\text{O}$  ведут себя как боратные, а при повышении мол.%  $\text{Na}_2\text{O}$  фрагильность перестает меняться с ростом ангармонизма (рис. 5).

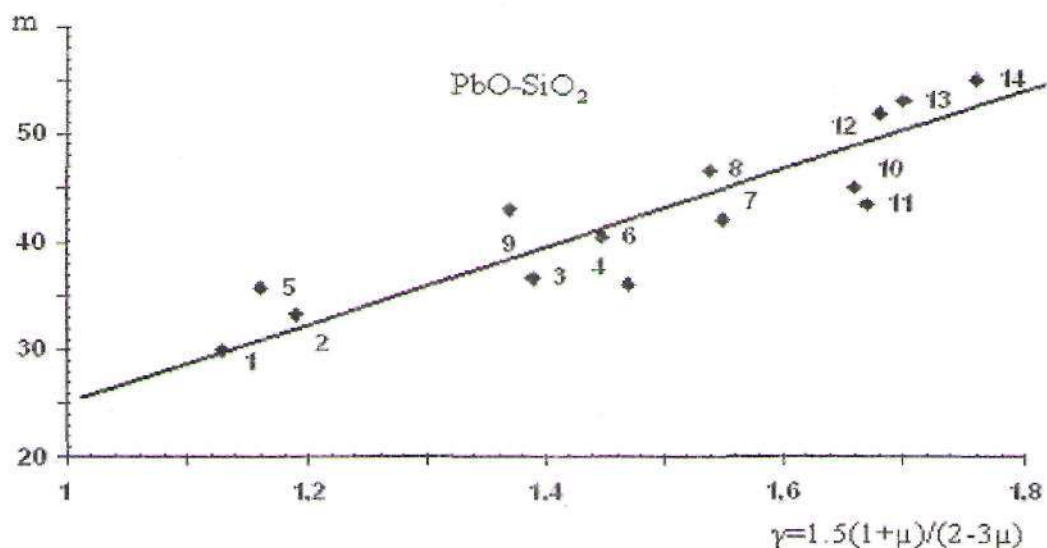


Рис. 1. Зависимость фрагильности свинцовосиликатных стекол  $m$  от параметра Грюнайзена  $\gamma$ .  
Номера точек соответствуют номерам стекол в табл. 1

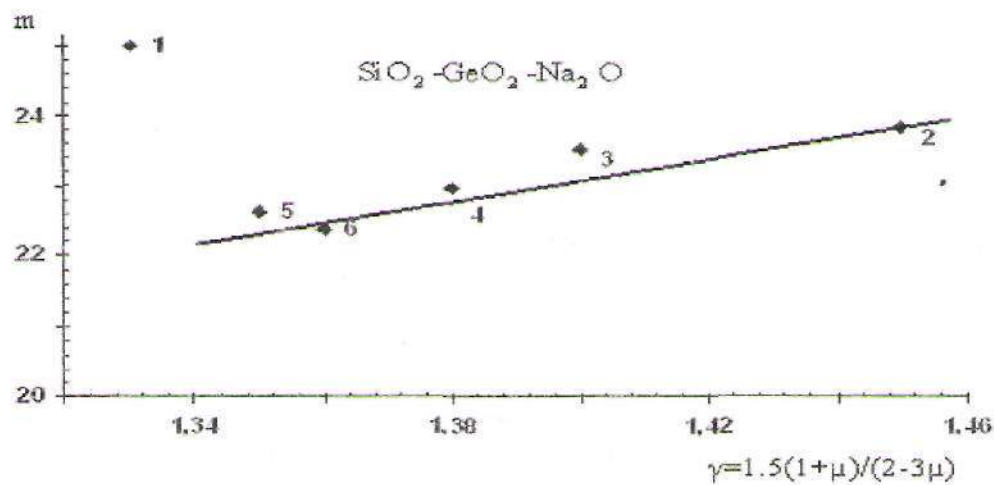


Рис. 2. Зависимость фрагильности от параметра Грюнайзена. Содержание окислов  $\text{SiO}_2/\text{GeO}_2/\text{Na}_2\text{O}$ , мол. %:  
1 – 6.95/85.87/7.17, 2 – 12.11/81.11/6.78, 3 – 15.04/78.41/6.55, 4 – 20.75/73.14/6.11, 5 – 24.68/69.52/5.81,  
6 – 27.57/66.85/5.58

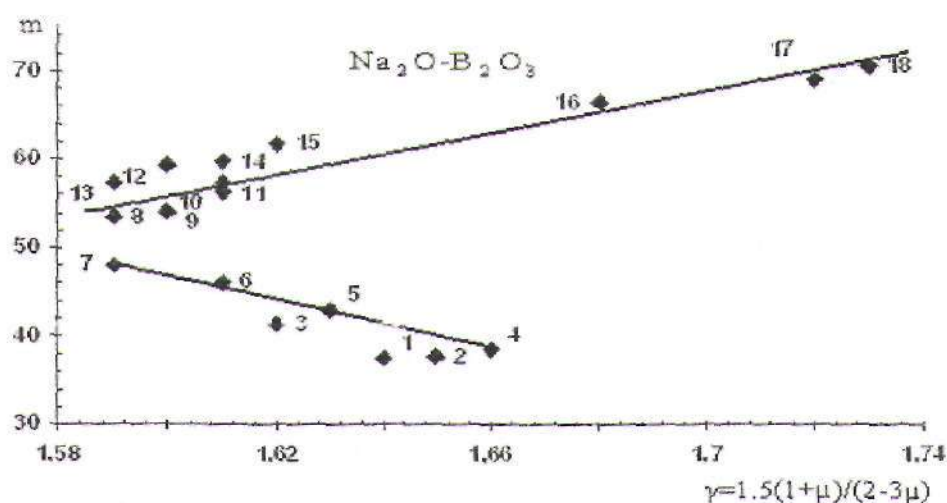


Рис. 3. Зависимость фрагильности натриевоборатных стекол от параметра Грюнайзена.  
Номера стекол соответствуют номерам стекол в табл. 1

Таблица 1

№	Содержание окисла, мол. %	$T_g$ , K	$m$	$\mu$	$\gamma$ (3)	$f_g$
1	2.8	565	37.5	0.278	1.64	0.024
2	5.4	571	37.64	0.279	1.65	0.019
3	8	573	41.25	0.274	1.62	0.018
4	10.7	616	38.46	0.281	1.66	0.021
5	13.5	642	42.86	0.276	1.63	0.021
6	15.3	663.5	46	0.271	1.61	0.015
7	17.5	663.5	48	0.268	1.59	0.022
8	19.5	717.5	53.4	0.267	1.59	0.005
9	20.2	717	54.1	0.269	1.6	0.011
10	21.3	727	56.4	0.271	1.61	0.011
11	23.2	733	57.58	0.271	1.61	0.021
12	24.3	733	59.37	0.27	1.6	0.021
13	25.9	734.5	57.5	0.267	1.59	0.016
14	27.4	739	62.5	0.271	1.61	0.019
15	29.8	737.5	64	0.274	1.62	0.021
16	32.6	739.5	68.4	0.285	1.68	0.021
17	35.4	739	69.1	0.291	1.72	0.021
18	38.5	733.5	70.58	0.293	1.73	0.019
№	PbO			PbO-SiO <sub>2</sub>		
1	20	808	37.5	0.156	1.13	0.023
2	30	765	37.64	0.174	1.19	0.02
3	33.3	749	41.25	0.225	1.39	0.019
4	35	746	38.46	0.243	1.47	0.014
5	40.1	728	42.86	0.164	1.16	0.015
6	42.1	702	46	0.219	1.36	0.012
7	45	697	48	0.24	1.45	0.023
8	48	675	53.4	0.261	1.55	0.013
9	49.6	675	54.1	0.259	1.54	0.019
10	50	673	56.4	0.222	1.37	0.008
11	55	646	57.58	0.281	1.66	0.005
12	60	640	59.37	0.282	1.67	0.002
13	63	632	57.5	0.285	1.68	0.004
14	66	618	62.5	0.289	1.7	0.017
15	66.6	619	64	0.294	1.74	0.016
16	68	627	68.4	0.298	1.76	0.009
17	70	627	69.1	0.156	1.15	0.026
18	73	606	70.58	0.174	1.2	-0.09

Введение в  $\text{SiO}_2$  как щелочных компонентов ( $\text{Na}_2\text{O}$ ), так и окиси свинца  $\text{PbO}$  приводит к разрыву мостиковых связей  $\text{Si}-\text{O}-\text{Si}$ . Атомы свинца легко поляризуются и, несмотря на то, что свинец входит в структуру стеклообразной кремнекислородной сетки, его связи не являются прочными [9]. При большом содержании  $\text{PbO}$  свинец в силикатных стеклах образует цепочечко увязанные структурные единицы. Этим объясняется рост  $\gamma$  и  $m$  при росте  $\text{PbO}$  (рис. 1), а также зависимость  $m(\gamma)$  (рис. 2).

В некоторых боратных системах при некотором введении второго компонента до 20 мол.%  $\text{Na}_2\text{O}$  тугоплавкость возрастает, растет фрагильность, затем, при дальнейшем повышении содержания  $\text{Na}_2\text{O}$ , происходит увеличение координации бора с 3 до 4 [9], что приводит к росту ангармонизма и фрагильности (рис. 3). В силикатах координационное число кремния остается постоянным. В германантных системах при введении окиси натрия координационное число растет с 4 до 6 [9]. Этим можно объяснить резкое изменение зависимости  $m(\gamma)$  у натриевогерманантных стекол при содержании  $\text{Na}_2\text{O}$  около 20 мол.% (рис. 5).

Таким образом, приведенные данные позволяют сделать вывод, что фрагильность неорганических стекол определенным образом взаимосвязана с ангармонизмом колебаний решетки и нелинейностью сил межатомного взаимодействия, мерой которого служит параметр Грюнайзена.

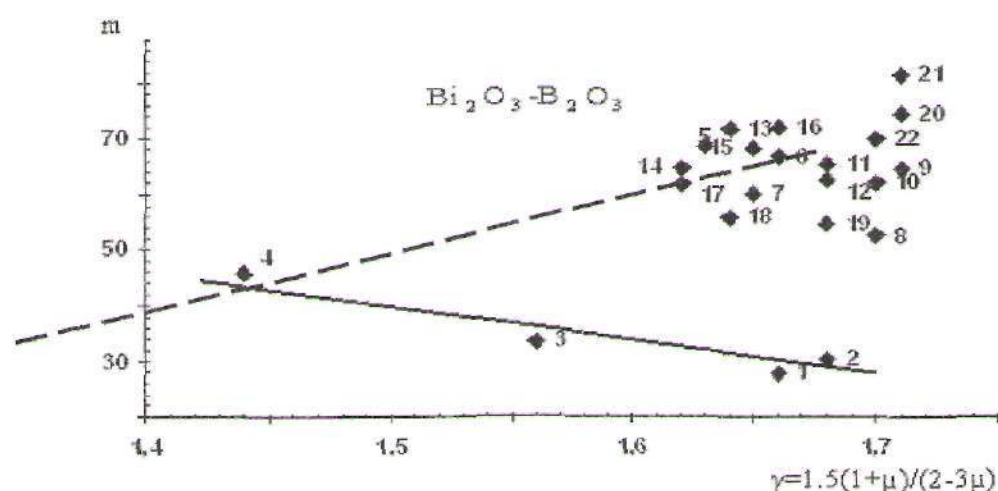


Рис. 4. Зависимость фрагильности стекол  $\text{Bi}_2\text{O}_3\text{-B}_2\text{O}_3$  от параметра Грюнайзена. Содержание  $\text{Bi}_2\text{O}_3$ , мол.%: 1 – 2, 2 – 5, 3 – 7.5, 4 – 10, 5 – 12.5, 6 – 14.60, 7 – 17, 8 – 18.41, 9 – 19.2, 10 – 21, 11 – 25.58, 12 – 28, 13 – 31, 14 – 33.2, 15 – 35.01, 16 – 37.8, 17 – 42.02, 18 – 44.65, 19 – 48.05, 20 – 50.24, 21 – 52.21, 22 – 56.81

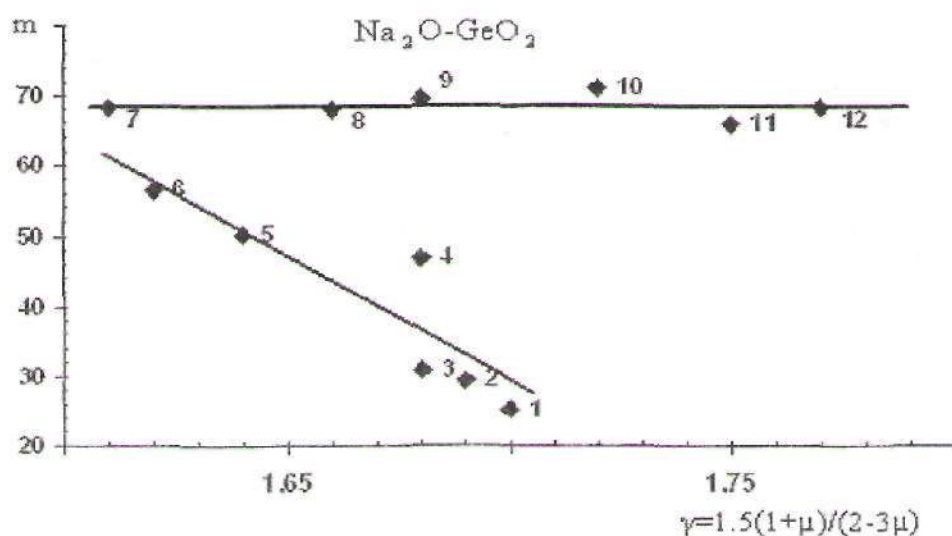


Рис. 5. Зависимость фрагильности натриевогерманантных стекол от параметра Грюнайзена. Содержание  $\text{Na}_2\text{O}$  мол.%: 1 – 1, 2 – 2, 3 – 3, 4 – 5, 5 – 10, 6 – 13, 7 – 17, 8 – 25, 9 – 27.5, 10 – 30, 11 – 32.5, 12 – 35

Литература

1. Angell C.A. Perspective on the glass transition // J. Phys. Chem. Solids. – 1988. – V.49, №8. – P. 836-871.
2. Nemilov S.V. Structural aspect of possible interrelation between fragility (length) of glass forming melts and Poisson's ratio of glasses // J. Phys. Chem. Solids. – 1988. – V.49, №8. – P. 836-871.
3. Novikov V.N., Sokolov A.P. Poisson's ratio and the fragility of glass – forming liquids // Nature. – 2004. – T.431. – P. 961-963.
4. Сандитов Д.С., Мангатов В.В. О преобразовании уравнения Гронаайзена применительно к стеклоупорным системам // Физика и химия стекла. – 1991. – Т.17, №1. – С. 174-179.
5. Сандитов Д.С., Машанов А.А., Сандитов Б.Д., Мангатов В.В. Фрагильность и ангармонизм колебаний решетки стеклообразующих систем // Физика и химия стекла. – 2008. – Т.34, №4. – С. 512-517.
6. Беломестных В.Н., Теслева Е.П. Взаимосвязь ангармонизма и поперечной деформации квазинефтропных поликристаллических тел // Журнал технической физики. – 2004. – Т.74, вып.8. – С. 140-142.
7. Сандитов Д.С. Модуль возбужденного состояния и элементарный акт процесса растяжения стеклообразных твердых тел // Журнал экспериментальной и теоретической физики. – 2009. – Т.137, вып.1. – С. 108-121.
8. Sciglass G.G. Institute of Theoretical Chemistry. – MA, USA. – 2006. – 132 p.
9. Немилов С.В., Романова И.В. Сравнительное изучение вязкости и структуры стекол силикатных, боратных и германатных систем // Стеклообразное состояние. – Л.: Наука, 1971. – С. 284-289.

Булыгина Елена Александровна, аспирант, кафедра общей физики, Бурятский государственный университет. 670000, Улан-Удэ, ул. Смолина, 24а

Етобаева Вероника Павловна, студентка, Бурятский государственный университет. 670000, Улан-Удэ, ул. Смолина, 24а

Машанов Алексей Алексеевич, кандидат технических наук, старший преподаватель, кафедра общей физики, Бурятский государственный университет. 670000, Улан-Удэ, ул. Смолина, 24а

Сандитов Дамба Сангадиевич, доктор физико-математических наук, профессор, кафедра общей физики, Бурятский государственный университет. 670000, Улан-Удэ, ул. Смолина, 24а

Bulygina Elena Alexandrovna, postgraduate student, department of general physics, Buryat State University.  
Etobaeva Veronika Pavlovna, student, Buryat State University.

Mashanov Alexey Alexeevich, candidate of engineering, senior lecturer, department of general physics, Buryat State University.

Sanditov Damba Sangadievich, doctor of physics and mathematics, professor, department of general physics, Buryat State University.

УДК 550.372

## ГРАДИЕНТНОЕ ШИРОКОПОЛОСНОЕ ПОГЛОЩАЮЩЕЕ ПОКРЫТИЕ

А.Г. Гантигуров, Ю.Б. Башкуев

Описан сравнительно простой поглотитель на основе бездисперсионной среды.  
Ключевые слова: поглощающее покрытие, бездисперсионная среда.

### GRADIENT WIDE-STRIPED ABSORBING COATING

A.G. Gantimurov, Yu.B. Bashkuev

*A comparatively simple absorber on the basis of non-dispersive medium is described.*  
Keywords: *absorbing coating, non-dispersive medium.*

В [1, 2] рассматривается бездисперсионный согласующий слой, т.е. слой, в котором скорость электромагнитной волны не зависит от частоты с зависимостью  $\varepsilon(z) = \varepsilon_H / (z + a)^4$ . В данной статье предполагается использовать его для создания широкополосного согласования с вакуумом в высокочастотном диапазоне волн. Допустим, что мы имеем среду с зависимостью  $\varepsilon(z) = \varepsilon_H / (z - a)^4$ ,  $a > 0$ . Тогда, согласно [2], электрическая компонента записывается как

$$E = C_1 (z - a) e^{\frac{j\omega \sqrt{\mu_0 \varepsilon_0 \varepsilon_H}}{(z - a)}} + C_2 (z - a) e^{\frac{-j\omega \sqrt{\mu_0 \varepsilon_0 \varepsilon_H}}{(z - a)}}. \quad (1)$$

Первый член отвечает прямой волне, зависимость от времени предполагается  $e^{-j\omega t}$ .

Допустим, что данный слой нагружен при  $z = a$  на нулевой по импедансу слой, тогда в решении (1) будет отсутствовать обратная волна. Найдем теперь импеданс данного слоя при  $z = 0$ .